

# ОБЪЕМНОЕ ФРЕНЕЛЕВО ОТРАЖЕНИЕ ЭЛЕКТРОМАГНИТНЫХ ВОЛН В ТРЕХМЕРНО НЕОДНОРОДНЫХ СРЕДАХ

*C. Г. Раутиан\**

*Физический институт им. П. Н. Лебедева Российской академии наук  
119991, Москва, Россия*

*Институт автоматики и электрометрии Сибирского отделения Российской академии наук  
630090, Новосибирск, Россия*

Поступила в редакцию 27 июля 2007 г.

Выведены уравнения, в лучевом приближении описывающие распространение монохроматических электромагнитных волн в трехмерно неоднородной среде с учетом объемного френелевого отражения от неоднородности среды. В основу анализа положен принцип локальности. Проведено разделение на эффекты прохождения и эффекты отражения. Первые оказываются изотропными, вторые — анизотропными и зависящими от интерференционных явлений. Закон Рытова вращения эллипса поляризации нарушается вследствие интерференционных эффектов. Явление Брюстера в слоистой и трехмерно неоднородной средах происходит в несовпадающих условиях.

PACS: 42.15.-i, 42.25.-p

## 1. ВВЕДЕНИЕ

Как известно, кроме френелева отражения от границы двух сред, существует объемное френелево отражение (ОФО), происходящее внутри неоднородной среды и обусловленное ее неоднородностью (см., например, [1]). Явление сравнительно хорошо изучено для сред с постоянным направлением градиента диэлектрической проницаемости  $\varepsilon(\mathbf{r})$  (одномерно неоднородные или слоистые среды), но в общем случае произвольной, трехмерной неоднородности не рассматривалось. Теория распространения поля в таких средах обычно формулируется следующим образом. Исходным служит волновое уравнение для напряженности  $\mathbf{E}(\mathbf{r}) \exp(-i\omega t)$  монохроматического поля в неоднородной среде [1, 2]:

$$\Delta\mathbf{E} + k^2(\mathbf{r})\mathbf{E} + \nabla(\mathbf{E}\varepsilon^{-1}\nabla\varepsilon) = 0, \quad (1)$$

$$k^2(\mathbf{r}) \equiv \varepsilon(\mathbf{r})\omega^2/c^2,$$

где  $\omega$  — частота. Его решение представляется в виде

$$\mathbf{E} = \mathbf{E}(\mathbf{r}) \exp[iS(\mathbf{r})], \quad (2)$$

и эйконал  $S(\mathbf{r})$  подчиняется уравнению

$$(\nabla S)^2 = k^2(\mathbf{r}). \quad (3)$$

Пусть решение уравнения (3) известно, т. е. известен волновой фронт, который задается равенством  $S(\mathbf{r}) = \text{const}$ . Соотношение

$$\mathbf{s}(\mathbf{r}) = \nabla S/k$$

определяет единичный лучевой вектор  $\mathbf{s}(\mathbf{r})$ , ортогональный волновому фронту. Вектор  $\mathbf{s}(\mathbf{r})$  является основным результатом решения уравнения эйконала (3) (поскольку  $k$  задан), но может быть найден и из уравнения

$$(\mathbf{s}\nabla)\mathbf{s} = \nabla k/k - \mathbf{s}(\mathbf{s}\nabla k)/k. \quad (4)$$

Для амплитуды  $\mathbf{E}(\mathbf{r})$  из уравнения (1) находим

$$(\mathbf{s}\nabla)\mathbf{E} = -\frac{\mathbf{E}}{2k}(k\text{div } \mathbf{s} + \mathbf{s}\nabla k) -$$

$$-\mathbf{s}\frac{\nabla\varepsilon\mathbf{E}}{2\varepsilon} + \frac{i}{2k}\{\Delta\mathbf{E} + \nabla[\varepsilon^{-1}(\nabla\varepsilon\mathbf{E})]\}. \quad (5)$$

Из соотношения (5) видно, что в рамках изложенного стандартного подхода волна с заданным лучевым вектором  $\mathbf{s}(\mathbf{r})$ , с заданным волновым фронтом

\*E-mail: sgraftian@mtu-net.ru

не порождает в неоднородной среде волны с другими лучевыми векторами, с другими волновыми фронтами. Это означает, что ОФО не фигурирует в анализе. О векторном поле в среде с трехмерной неоднородностью, насколько мне известно, нет работ, в которых ОФО принималось бы во внимание, оно рассчитывалось только для одномерной. В слоистой неоднородной среде ОФО формирует две плоские волны, которые, отражаясь от неоднородности, преобразуются друг в друга. В случае же трехмерной неоднородности каждая волна типа (2) порождает непрерывный набор волн, отраженных от последовательных слоев среды и обладающих различными волновыми фронтами. Анализ обмена между исходной волной (2) и отраженными в принципе возможен, но пока не проводился.

Уравнение (5) описывает, как известно, изменение амплитуды  $\mathbf{E}$  вдоль луча из-за расходимости пучка лучей и собственно неоднородности среды (слагаемые с  $k \operatorname{div} \mathbf{s}$  и  $s \nabla k$ ), дифракционные явления ( $\Delta \mathbf{E}$ ) и эволюцию эллипса поляризации (члены с  $\nabla \varepsilon$ ). В приближении геометрической оптики пре-небрегают членами в фигурных скобках уравнения (5), которые по параметру малости  $\lambda/L$  ( $\lambda$  и  $L$  — длина волны и масштаб неоднородности среды) меньше остальных слагаемых правой части:

$$(\mathbf{s} \nabla) \mathbf{E} = -\frac{\mathbf{E}}{2k}(k \operatorname{div} \mathbf{s} + s \nabla k) - \frac{\mathbf{s}(\nabla \varepsilon \mathbf{E})}{2\varepsilon}. \quad (6)$$

Вращение вектора  $\mathbf{E}$  описывается третьим членом в правой части. Для единичного вектора поляризации  $\mathbf{e}$  из уравнения (6) следует [2–5], что

$$\begin{aligned} (\mathbf{s} \nabla) \mathbf{e} &= -\frac{\mathbf{s}(\nabla \varepsilon \mathbf{e})}{2\varepsilon} = \mathbf{g} \times \mathbf{e}, \\ \mathbf{e} &= \frac{\mathbf{E}}{E}, \quad \mathbf{g} = \frac{\mathbf{s} \times \nabla \varepsilon}{2\varepsilon}. \end{aligned} \quad (7)$$

Вектор  $\mathbf{g}$ , называемый вектором гирации, направлен вдоль бинормали  $\mathbf{b}$  к лучу, а по абсолютной величине равен кривизне луча:

$$\mathbf{g} = \mathbf{b}/R, \quad \mathbf{b} = \mathbf{s} \times \mathbf{N}, \quad (8)$$

где  $R$  и  $\mathbf{N}$  — радиус кривизны луча и нормаль к нему. Вращение системы ортов  $\mathbf{s}$ ,  $\mathbf{N}$ ,  $\mathbf{b}$  (трехгранник Френе) задается вектором  $\boldsymbol{\Omega}$  Дарбу (см., например, [6]):

$$\boldsymbol{\Omega} = \mathbf{b}/R + \mathbf{s}/T, \quad (9)$$

где  $T$  — радиус кручения луча. Вектор  $\mathbf{e}$  находится в плоскости  $\mathbf{N}$ ,  $\mathbf{b}$  и относительно трехгранника Френе вращается со скоростью  $\mathbf{g} - \boldsymbol{\Omega}$ :

$$\mathbf{g}_{rel} = \mathbf{g} - \boldsymbol{\Omega} = -\mathbf{s}/T. \quad (10)$$

Соотношения (7), (8), (10) составляют содержание закона Рытова — в приближении геометрической оптики векторная амплитуда поля вращается вокруг бинормали  $\mathbf{b}$  со скоростью  $1/R$ , а относительно естественного трехгранника — вокруг лучевого вектора  $\mathbf{s}$  со скоростью  $-1/T$ . При смещении вдоль луча эллипс поляризации сохраняет свою форму.

В работах [7, 8] рассмотрено влияние члена  $i\nabla[\varepsilon^{-1}(\nabla \varepsilon \mathbf{E})]/2k$  в уравнении (5) на эволюцию эллипса поляризации. Это слагаемое по порядку величины  $\lambda/L$  меньше остальных членов правой части в (5). Такой же порядок малости, в принципе, и у эффектов ОФО. Поэтому, строго говоря, сохранение слагаемого  $i\nabla[\varepsilon^{-1}(\nabla \varepsilon \mathbf{E})]$  без включения в модель ОФО не может быть последовательным.

Основная цель статьи — дать обобщение фундаментального уравнения (6), связанное с объемным френелевым отражением. В работе получены некоторые следствия относительно закона Рытова и эффекта Брюстера.

## 2. НАРУШЕНИЕ ЗАКОНА РЫТОВА ВСЛЕДСТВИЕ ОБЪЕМНОГО ФРЕНЕЛЕВА ОТРАЖЕНИЯ В СЛОИСТЫХ СРЕДАХ

В слоистой среде луч является плоской кривой ( $1/T = 0$ ,  $\boldsymbol{\Omega} = \mathbf{b}/R$ ), трехгранник Френе и вектор поляризации  $\mathbf{e}$  вращаются вокруг бинормали (вследствие искривления луча и ортогональности  $\mathbf{e}$  и  $\mathbf{s}$ ). Компонента  $\mathbf{e}$ , находящаяся в плоскости  $\mathbf{s}$ ,  $e_z$  (ось  $z$  направим по  $\nabla \varepsilon$ ), и ортогональная ей компонента распространяются в разных условиях. Следовательно, ОФО и слагаемое  $i\nabla[\varepsilon^{-1}(\nabla \varepsilon \mathbf{E})]/2k$  в уравнении (5) должны изменять эллипс поляризации в одномерно неоднородной среде.

ОФО подробно исследовалось в слоистой среде в одномерной задаче, т. е. без дифракционных явлений [1, 9]. При распространении поперечной плоской волны вдоль  $\nabla \varepsilon$  напряженность  $E(z)$  зависит только от  $z$ . Решение волнового уравнения (штрих обозначает дифференцирование по  $z$ )

$$E'' + k^2(z)E = 0, \quad k^2(z) = \varepsilon(z)\omega^2/c^2, \quad (11)$$

задают в виде двух встречных волн с зависящими от координат амплитудами:

$$\begin{aligned} E(z) &= \sqrt{\frac{1}{k(z)}} \times \\ &\times \{A_1(z) \exp[iS(z)] + A_2(z) \exp[-iS(z)]\}, \quad (12) \\ S(z) &= \int k(z) dz. \end{aligned}$$

Пусть амплитуды  $A_1(z)$ ,  $A_2(z)$  являются решением системы уравнений

$$\begin{aligned} A'_1 &= \frac{k'}{2k} \exp[-2iS(z)]A_2, \\ A'_2 &= \frac{k'}{2k} \exp[2iS(z)]A_1. \end{aligned} \quad (13)$$

Тогда, как это легко показать, функция (12) удовлетворяет волновому уравнению (11) [1, 9]. Переход от уравнения второго порядка (11) к системе двух уравнений (13) первого порядка соответствует описанию ОФО от неоднородностей среды. Действительно, на малой толщине  $\Delta z$  слоя среды происходит изменение волнового числа  $\Delta k = k'\Delta z$ ; волна  $A_2 \exp(-iS)$  отражается на этом скачке  $\Delta k$ , т. е. порождает волну противоположного направления, и, в соответствии с формулами Френеля для коэффициента отражения, изменяет амплитуду  $A_1$  на

$$\begin{aligned} \Delta A_1 &= \frac{\Delta k}{2k} \exp[-2iS(z)] A_2 = \\ &= \frac{k'}{2k} \exp[-2iS(z)] A_2 \Delta z, \end{aligned}$$

что в пределе бесконечно малого  $\Delta z$  эквивалентно первому из уравнений (13). Аналогичным образом отражение волны  $A_1 \exp(iS)$  изменяет амплитуду  $A_2$  в согласии со вторым уравнением (13). Следовательно, запись поля (12) в виде двух встречных волн и подчинение амплитуд  $A_1(z)$ ,  $A_2(z)$  системе уравнений (13) соответствует представлению об отражении этих волн от неоднородностей среды или ОФО.

Приближение геометрической оптики дается условиями  $A'_1 = 0$ ,  $A'_2 = 0$ , т. е.  $A_{1,2} = \text{const}$ . Член  $(\mathbf{E}/2k)(\mathbf{s}\nabla k)$  в уравнении (6), отвечающий множителю  $\sqrt{1/k(z)}$  в соотношении (12), в приближении геометрической оптики обеспечивает для каждой из волн неизменность потока, пропорционального  $|A_{1,2}|^2$ .

В формулах (11), (12) под  $E(z)$  можно понимать любую декартову компоненту, перпендикулярную оси  $z$ . В случае же наклонного распространения в одномерно неоднородной среде возникают поляризационные эффекты. Как и ранее, имея в виду плоские волны, ось  $x$  выбирается так, чтобы  $s_y = 0$  и напряженности поля зависели от двух переменных

$x, z$ . Плоскость  $xz$  аналогична плоскости падения при отражении от плоской границы раздела двух сред. Компонента  $E_\perp(x, z)$  напряженности, перпендикулярная плоскости  $xz$ , согласно (1), подчиняется уравнению

$$\Delta E_\perp + k^2(z)E_\perp = 0. \quad (14)$$

Его решение можно представить в виде, подобном формулам (12), (13) [1, 9]:

$$\begin{aligned} E_\perp(x, z) &= \sqrt{\frac{1}{k_z(z)}} \exp(ik_x x) \times \\ &\times \{B_1(z) \exp[iS_1(z)] + B_2(z) \exp[-iS_1(z)]\}, \\ B'_1 &= \frac{k'_z}{2k_z} \exp[-2iS_1(z)]B_2, \\ B'_2 &= \frac{k'_z}{2k_z} \exp[2iS_1(z)]B_1, \\ k_z &= \sqrt{k^2(z) - k_x^2}, \quad S_1(z) = \int k_z(z_1) dz_1. \end{aligned} \quad (15)$$

Константа разделения  $k_x$  аналогична  $x$ -компоненте волнового вектора плоской волны при ее распространении в однородной среде. Отношение  $k'_z/2k_z$  соответствует  $\perp$ -коэффициенту отражения Френеля при наклонном падении.

Вместо вектора  $\mathcal{E} = \mathcal{E}_\parallel(x, z)$ , расположенного в плоскости  $xz$ , удобнее иметь дело с компонентой напряженности магнитного поля  $H_\perp(x, z)$ , перпендикулярной плоскости  $xz$ , с последующим вычислением  $\mathcal{E}_\parallel$ :

$$\begin{aligned} \Delta H_\perp + k^2(z)H_\perp - \frac{\nabla\varepsilon}{\varepsilon}\nabla H_\perp &= 0, \\ \mathcal{E}_\parallel &= \frac{c}{\omega\varepsilon} \left( \mathbf{e}_x \frac{\partial H_\perp}{\partial z} - \mathbf{e}_z \frac{\partial H_\perp}{\partial x} \right). \end{aligned} \quad (16)$$

Представление  $H_\perp(x, z)$  в виде двух встречных волн имеет вид

$$\begin{aligned} H_\perp(x, z) &= \sqrt{\frac{\varepsilon}{k_z}} \exp(ik_x x) \times \\ &\times \{C_1(z) \exp[iS_1(z)] + C_2(z) \exp[-iS_1(z)]\}, \end{aligned} \quad (17)$$

причем  $S_1(z)$  и  $k_z$  даются формулой (15), а амплитуды  $C_1(z)$  и  $C_2(z)$  подчиняются системе уравнений [1, 9]

$$\begin{aligned} C'_1 &= \frac{(k_z/\varepsilon)'}{2k_z/\varepsilon} \exp[-2iS_1(z)]C_2, \\ C'_2 &= \frac{(k_z/\varepsilon)'}{2k_z/\varepsilon} \exp[2iS_1(z)]C_1. \end{aligned} \quad (18)$$

Коэффициенты в уравнениях (18) отвечают френелевому отражению волны с  $\parallel$ -поляризацией. Справедливы равенства

$$f_{\parallel} \equiv \frac{(k_z/\varepsilon)'}{2k_z/\varepsilon} = \frac{k'_z}{2k_z} - \frac{\varepsilon'}{2\varepsilon} = \frac{\varepsilon'}{4\varepsilon} \left( \frac{k_x^2}{k^2(z) - k_x^2} - 1 \right) = \frac{\varepsilon'}{4\varepsilon} \frac{k_x^2 - k_z^2}{k_z^2}, \quad (19)$$

$$f_{\perp} \equiv \frac{k'_z}{2k_z} = \frac{\varepsilon'}{4\varepsilon} \frac{k_x^2 + k_z^2}{k_z^2}, \quad f_{\perp} - f_{\parallel} = \frac{\varepsilon'}{2\varepsilon}. \quad (20)$$

Величина  $f_{\parallel}$  изменяет знак в точке  $k_x^2 = k_z^2$  («угол падения»  $45^\circ$ ), где она обращается в нуль, что отвечает эффекту Брюстера в среде с непрерывной неоднородностью. Коэффициенты  $f_{\perp}$ ,  $f_{\parallel}$  одинаково зависят от  $\varepsilon'/\varepsilon$  и различаются геометрическими факторами. Разность  $f_{\perp} - f_{\parallel}$  зависит только от свойств среды. Очевидны свойства

$$k_x^2 + k_z^2 \geq k_x^2 - k_z^2, \quad |f_{\perp}| \geq |f_{\parallel}|. \quad (21)$$

Наибольшее отличие величины  $f_{\perp}$  от  $f_{\parallel}$  имеет место в окрестности угла Брюстера ( $k_z^2 = k_x^2$ ). Вблизи углов нормального ( $k_z^2 \gg k_{\tau}^2$ ) и скользящего ( $k_z^2 \ll k_{\tau}^2$ ) падения поляризационные эффекты сравнительно невелики.

Нетрудно показать, что при вещественных величинах  $k'/2k$  и  $S(z)$ , т. е. для однородных волн, амплитуды  $A_1$  и  $A_2$  из системы (13) удовлетворяют соотношениям

$$(|A_1|^2 - |A_2|^2)' = 0, \quad |A_1|^2 - |A_2|^2 = \text{const}, \quad (22)$$

т. е. обмен между встречными волнами в (12) из-за ОФО не изменяет разность потоков в них. Аналогичные соотношения выполняются и для однородных «встречных» волн при наклонном распространении:

$$|B_1|^2 - |B_2|^2 = \text{const}, \quad |C_1|^2 - |C_2|^2 = \text{const}. \quad (23)$$

Поскольку коэффициенты  $f_{\perp}$  и  $f_{\parallel}$  в системах уравнений (15) и (18) отличаются,  $\perp$ - и  $\parallel$ -компоненты эллипса поляризации изменяются по-разному. Таким образом, по мере распространения волны происходит изменение формы ее эллипса поляризации, обусловленное ОФО.

Реальная роль ОФО зависит от вида неоднородности среды. В случае периодической неоднородности среды и достаточной ее протяженности эффекты ОФО накапливаются и могут привести к заметным результатам, в том числе, к формированию неоднородных волн (см., например, [1, 10–13]). В средах с монотонной слабой неоднородностью применяют теорию возмущений по параметрам  $f_{\perp}$ ,  $f_{\parallel}$ .

В частности, во втором приближении из уравнений (15) следует, что

$$\begin{aligned} B_1(z) &= B_1(z_0) + B_2(z_0) \int_{z_0}^z dz_1 f_{\perp}(z_1) \times \\ &\times \exp[-2iS(z_1)] + B_1(z_0) \int_{z_0}^z dz_1 \int_{z_0}^{z_1} dz_2 \times \\ &\times f_{\perp}(z_1) f_{\perp}(z_2) \exp\{2i[S_1(z_2) - S_1(z_1)]\}. \end{aligned} \quad (24)$$

При слабой встречной волне основным слагаемым может оказаться квадратичный член в правой части (24). Наоборот, при  $B_2(z) \sim B_1(z)$  достаточно ограничиться первой поправкой. Пусть для простоты в точке  $z_0$  имеем  $B_2(z_0) = B_1(z_0) = B$ ,  $C_2(z_0) = C_1(z_0) = C$ . В первом приближении уравнения (15) и (18) дают соотношения

$$\begin{aligned} B_1(z) &= B \left\{ 1 + \int_{z_0}^z f_{\perp}(z_1) \exp[-2iS(z_1)] dz_1 \right\}, \\ C_1(z) &= C \left\{ 1 + \int_{z_0}^z f_{\parallel}(z_1) \exp[-2iS(z_1)] dz_1 \right\}. \end{aligned} \quad (25)$$

Можно видеть, что изменяются модули  $|B_1(z)|$  и  $|C_1(z)|$ , а между  $B_1(z)$  и  $C_1(z)$  возникает разность фаз:

$$\int_{z_0}^z (f_{\parallel} - f_{\perp}) \sin(2S) dz_1 = - \int_{z_0}^z \frac{\varepsilon'}{2\varepsilon} \sin(2S) dz_1. \quad (26)$$

Оба фактора — изменение модулей и разности фаз — приводят к изменению формы эллипса поляризации, т. е. при наклонном распространении ОФО приводят к отступлению от закона Рытова.

### 3. ИНТЕРФЕРЕНЦИОННЫЕ ЯВЛЕНИЯ ПРИ ОБЪЕМНОМ ФРЕНЕЛЕВОМ ОТРАЖЕНИИ

Дифференциальные уравнения (13), (15), (18) задают локальные соотношения между волнами в неоднородной среде. Для полного отражения от среды конечной протяженности чрезвычайно существенна интерференция волн, отраженных от разных слоев. Разобъем одномерно неоднородную среду на слои, расположенные перпендикулярно  $\nabla\varepsilon$ , толщиной в четверть средней длины волны. На рис. 1 штриховые прямые показывают два таких слоя. Векторы  $\mathbf{k}_1$  и  $\mathbf{k}'_1$  символизируют отражение  $\mathbf{k}$ -волны от

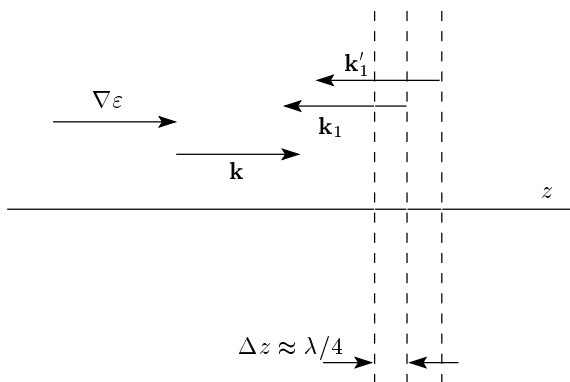


Рис. 1

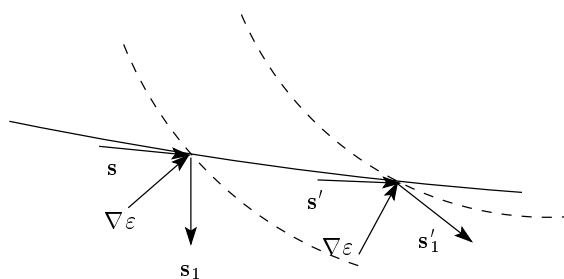


Рис. 2

выделенных прилегающих слоев. Фазы отраженных волн сдвинуты приблизительно на  $\pi$ , и волны полностью не гасят друг друга только из-за небольшого различия показателей преломления — разность фаз немного отличается от  $\pi$  и амплитуды отраженных волн не совсем одинаковы. Сумма показанных и всех остальных отраженных волн есть одна плоская волна, и ее амплитуда зависит от отношения длины волны к масштабу неоднородности среды. Интерференционные соображения имеют силу и в случае наклонного распространения, нужно только под  $\lambda$  понимать  $2\pi/k_z$ . В формулах (24), (25) интегральные члены и выражают интерференционные эффекты, т. е. нарушение закона Рытова обусловлено интерференционными явлениями.

Таким образом, в среде с одномерной слабой и монотонной неоднородностью эффекты ОФО не накапливаются, но создают картину сравнительно неглубоких интерференционных полос.

Насколько мне известно, не существует работ, в которых исследовалось бы ОФО для сред с трехмерной неоднородностью. Причина была упомянута в разд. 1. Рассмотрим ее более подробно. В слоистой среде существуют только две волны, которые при отражении преобразуются друг в друга. В трехмерно

неоднородной среде ситуация принципиально иная, как это можно увидеть из рис. 2. Сплошная кривая изображает луч,  $s$  и  $s'$  — лучевые векторы в двух разных точках луча. Штриховые кривые соответствуют поверхностям  $\varepsilon(\mathbf{r}) = \text{const}$ , векторы  $\nabla \varepsilon$  коллинеарны нормалям к штриховым поверхностям,  $s_1$  и  $s'_1$  — лучевые векторы отраженных волн в тех же двух точках луча. В этих двух точках луча генерируются лучи отраженных волн различных направлений ( $s_1$  и  $s'_1$  не параллельны). Каждый луч волны, описываемой формулой (2), порождает непрерывный набор разнонаправленных отраженных лучей, причем распределение последних по углам зависит от вида  $\varepsilon(\mathbf{r})$  и  $\nabla \varepsilon(\mathbf{r})$ . Иными словами, волны, отраженные в разных областях среды, имеют различные формы волновых фронтов. В отличие от случая одномерной неоднородности, в трехмерной задаче возникает сложная, весьма разнообразная проблема интерференции волн разных направлений, с разными волновыми фронтами, вид которых определяется пространственной зависимостью  $\varepsilon(\mathbf{r})$ .

#### 4. ОПИСАНИЕ ОБЪЕМНОГО ФРЕНЕЛЕВА ОТРАЖЕНИЯ В ТРЕХМЕРНО НЕОДНОРОДНЫХ СРЕДАХ

Задача настоящего раздела состоит в том, чтобы в уравнение (6) для амплитуды  $\mathbf{E}$  ввести слагаемые, которые описывали бы ОФО. Воспользуемся одной из основных идей геометрической оптики: форма локальных соотношений между характеристиками поля — лучевыми, фазовыми, амплитудными, поляризационными, энергетическими, — совпадает с таковыми для плоских волн в однородной среде при локальных значениях самих характеристик (принцип локальности [5]). В соответствии со сказанным, будем исходить из формул Френеля и получим выражения для дифференциальных коэффициентов отражения и пропускания тонкого слоя неоднородной среды, прилегающего к поверхности  $\varepsilon(\mathbf{r}) = \text{const}$ .

Примем следующую запись амплитудных коэффициентов Френеля отражения и пропускания  $\rho_{\perp}$ ,  $\rho_{\parallel}$ ,  $d_{\perp}$ ,  $d_{\parallel}$  для плоской границы раздела между двумя однородными средами:

$$\rho_{\perp} = \frac{R_{\perp}}{E_{\perp}} = \frac{k_n - k_{2n}}{k_n + k_{2n}} \exp(2ik_n z_0), \quad (27)$$

$$d_{\perp} = D_{\perp}/E_{\perp} = \frac{2k_n}{k_n + k_{2n}} \exp[i(k_n - k_{2n})z_0], \quad (28)$$

$$\rho_{\parallel} = R_{\parallel}/E_{\parallel} = \frac{k_n/\varepsilon_1 - k_{2n}/\varepsilon_2}{k_n/\varepsilon_1 + k_{2n}/\varepsilon_2} \exp(2ik_n z_0), \quad (29)$$

$$d_{\parallel} = D_{\parallel}/E_{\parallel} = \frac{2k_n}{k_n + k_{2n}\varepsilon_1/\varepsilon_2} \sqrt{\frac{\varepsilon_1}{\varepsilon_2}} \times \exp[i(k_n - k_{2n})z_0]. \quad (30)$$

Здесь  $R_{\perp}$ ,  $D_{\perp}$ ,  $E_{\perp}$ ,  $R_{\parallel}$ ,  $D_{\parallel}$ ,  $E_{\parallel}$  — амплитуды отраженных, прошедших и падающих волн для  $\perp$ - и  $\parallel$ -поляризаций (перпендикулярно и параллельно плоскости падения),  $z_0$  — координата границы раздела вдоль нормали  $\mathbf{n}$  к границе раздела,  $k_n$  и  $k_{2n}$  — проекции волновых векторов падающей и прошедшей волн на нормаль  $\mathbf{n}$ , причем нормаль  $\mathbf{n}$  направлена из среды 1 в среду 2. Проекции  $k_x$  волновых векторов на границу раздела у всех трех волн одинаковы, они не входят в фазовые множители в формулах (27)–(30). Имеем

$$k_n = \sqrt{k^2 - k_x^2}, \quad k_{2n} = \sqrt{k_2^2 - k_x^2},$$

$$k^2 = \frac{\varepsilon_1 \omega^2}{c^2}, \quad k_2^2 = \frac{\varepsilon_2 \omega^2}{c^2}.$$

Фазы волн заданы в виде  $\mathbf{k} \cdot \mathbf{r}$ ,  $\mathbf{k}_1 \cdot \mathbf{r}$ ,  $\mathbf{k}_2 \cdot \mathbf{r}$ , т. е. отсчитываются от плоскости  $z = 0$ . Справедливы равенства

$$|\rho_{\parallel}|^2 + |d_{\parallel}|^2 \frac{k_{2n}}{k_n} = 1, \quad |\rho_{\perp}|^2 + |d_{\perp}|^2 \frac{k_{2n}}{k_n} = 1. \quad (31)$$

Коэффициенты пропускания имеют конечные значения, отличные от единицы. Это очевидное обстоятельство не отражено в уравнении (6) и будет принято во внимание ниже.

В рамках геометрической оптики при использовании формул Френеля в случае неплоской, мало искривленной границы раздела в качестве таковой принимают плоскость, касательную к ее поверхности в точке пересечения с лучом [5]. Определение нормали  $\mathbf{n}$  к касательной плоскости,

$$\mathbf{n} = \nabla \varepsilon / |\nabla \varepsilon|, \quad (32)$$

несущественно отличается от общепринятого направлением — здесь  $\mathbf{n}$  направлена в сторону увеличения  $\varepsilon$ , тогда как обычно направление выбирают «из среды 1 в среду 2», т. е. по направлению распространения фазы падающей волны. Компоненты волновых векторов  $k_n$  и  $k_{2n}$ , фигурирующие в формулах Френеля, нужно переопределить. В нашем случае волновые векторы волн даются градиентами их эйконалов, а нормальные компоненты — равенствами

$$k_n = k_s \cdot \mathbf{n}, \quad k_{2n} = k_s' \cdot \mathbf{n}. \quad (33)$$

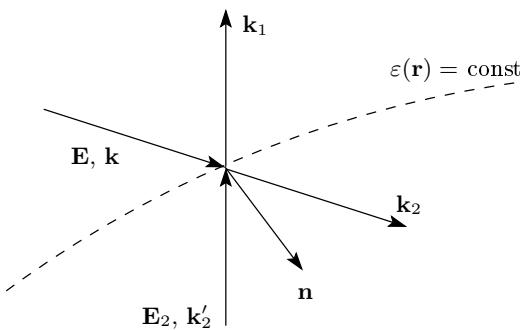


Рис. 3

С учетом сделанных замечаний в формулах (27)–(30) под  $k_n$ ,  $k_{2n}$  следует понимать величины из (33) и провести замены

$$k_n z_0 \rightarrow S_n(z) = \int_0^z dz_1 k_n(z_1),$$

$$k_{2n} z_0 \rightarrow S_{2n}(z) = \int_0^z dz_1 k_{2n}(z_1).$$
(34)

Под  $z$  понимается координата луча на поверхности  $\varepsilon(\mathbf{r}) = \text{const}$ . Проекции волновых векторов на касательную плоскость, одинаковые для падающей, отраженной и прошедшей волн, выпадают из фазовых множителей в (27)–(30).

На рис. 3 показаны амплитуды и волновые векторы для четырех лучей, которые «взаимодействуют» благодаря малому скачку  $\Delta\varepsilon(\mathbf{r})$  вблизи поверхности  $\varepsilon(\mathbf{r}) = \text{const}$ . В проходящую волну  $\exp(i\mathbf{k}_2 \cdot \mathbf{r})$  дает вклад волна  $\mathbf{E} \exp(i\mathbf{k} \cdot \mathbf{r})$  и отражение волны  $\mathbf{E}_2 \exp(i\mathbf{k}'_2 \cdot \mathbf{r})$ . Волна с вектором  $\mathbf{k}_1 = k_s$  формируется вследствие отражения волны  $\mathbf{E} \exp(i\mathbf{k} \cdot \mathbf{r})$  и прохождения волны  $\mathbf{E}_2 \exp(i\mathbf{k}'_2 \cdot \mathbf{r})$ . Отметим, что

$$\mathbf{k} \cdot \mathbf{n} = -\mathbf{k}_1 \cdot \mathbf{n} = -k_s \cdot \mathbf{n}, \quad \mathbf{k}_2 \cdot \mathbf{n} = -\mathbf{k}'_2 \cdot \mathbf{n}. \quad (35)$$

Для разложения амплитуд применим систему ортов из лучевого вектора  $\mathbf{s}$ , орта  $\mathbf{e}_{\perp}$ , перпендикулярного плоскости  $\mathbf{n}$ ,  $\mathbf{s}$  (плоскости «падения»), и орта  $\mathbf{e}_{\parallel}$ , находящегося в плоскости падения. В силу формул (4), (8) и (32) орты  $\mathbf{e}_{\perp}$  и  $\mathbf{e}_{\parallel}$  совпадают соответственно с бинормалью  $\mathbf{b}$  и нормалью  $\mathbf{N}$  трехгранника Френе; для отраженного луча разложение по ортам  $\mathbf{s}_1$ ,  $\mathbf{N}_1$ ,  $\mathbf{b}$  имеет вид

$$\mathbf{e}_{\perp} = \frac{\mathbf{s} \times \mathbf{n}}{|\mathbf{s} \times \mathbf{n}|} = \mathbf{b}, \quad \mathbf{e}_{\parallel} = \mathbf{N}, \quad \mathbf{e}_{\perp} \times \mathbf{s}_1 = \mathbf{N}_1, \quad (36)$$

$$\mathbf{E} = E_{\perp} \mathbf{b} + E_{\parallel} \mathbf{N}, \quad \mathbf{E}_2 = E_{2\perp} \mathbf{b} + E_{2\parallel} \mathbf{N}_1. \quad (37)$$

Ради единообразия с теорией френелевого отражения, употребляем индексы  $\perp$  и  $\parallel$ .

Дифференциальные коэффициенты отражения волн  $E_2 \exp(i\mathbf{k}'_2 \cdot \mathbf{r})$  и  $E \exp(i\mathbf{k} \cdot \mathbf{r})$  можно найти непосредственно из формул Френеля (27), (29). Вклады отражения в производные амплитуд вдоль лучей равны (фигурные скобки будут обозначать вклады ОФО в общую производную)

$$\begin{aligned}\{\mathbf{s} \nabla E_\perp\} &= f_{n\perp} E_{2\perp} \exp(2iS_{2n}), \\ \{\mathbf{s}_1 \nabla E_{2\perp}\} &= f_{n\perp} E_\perp \exp(2iS_n),\end{aligned}\quad (38)$$

$$\begin{aligned}\{\mathbf{s} \nabla E_\parallel\} &= f_{n\parallel} E_{2\parallel} \exp(2iS_{2n}), \\ \{\mathbf{s}_1 \nabla E_{2\parallel}\} &= f_{n\parallel} E_\parallel \exp(2iS_n),\end{aligned}\quad (39)$$

$$f_{n\perp} \equiv \frac{\mathbf{s} \nabla k_n}{2k_n}, \quad f_{n\parallel} \equiv \frac{\mathbf{s} \nabla (k_n/\varepsilon)}{2k_n/\varepsilon}. \quad (40)$$

Выражения (40) представляются вполне надежными, поскольку разности  $\Delta k_n = k_{2n} - k_n$  и коэффициенты отражения  $\rho_\perp, \rho_\parallel$  (27), (29) суть величины первого порядка малости. В отличие от них, коэффициенты пропускания  $d_\perp, d_\parallel$  (28), (30) близки к единицам, и оценка дифференциальных коэффициентов пропускания требует большей тщательности. Например, изменение  $\Delta E_\perp$  непосредственно амплитуды  $E_\perp$  при прохождении тонкого слоя неоднородной среды равно

$$\begin{aligned}\Delta E_\perp \exp(iS_n) &= D_\perp \exp(iS_{2n}) - E_\perp \exp(iS_n) = \\ &= \left( \frac{2k_n}{k_n + k_{2n}} - 1 \right) E_\perp \exp(iS_n) = \\ &= -\frac{k_{2n} - k_n}{k_{2n} + k_n} E_\perp \exp(iS_n).\end{aligned}\quad (41)$$

В отличие от отражения, преломление сопровождается изменением поперечного сечения выделенного участка волнового фронта или пучка лучей. Это обстоятельство отражено в законах сохранения (31) в виде множителей  $k_{2n}/k_n$  и не принято во внимание в формуле (41). Величины  $d_\perp \sqrt{k_{2n}/k_n}$ ,  $d_\parallel \sqrt{k_{2n}/k_n}$  представляют собой коэффициенты пропускания для амплитуд вида  $A = \sqrt{k_n} E$ . Амплитуды именно такого вида фигурируют в строгой теории ОФО в слоистых средах (см. формулы (12), (15), (18)), и для них интересующая нас разность

$$\frac{2k_n}{k_n + k_{2n}} \sqrt{\frac{k_{2n}}{k_n}} - 1 \sim \left( \frac{\Delta k_n}{2k_n} \right)^2, \quad (42)$$

т. е. оказывается второго порядка малости, и для амплитуд вида  $\sqrt{k_n} E$  эффективное пропускание является полным.

Итак, вводим амплитуды  $A$ , разложение их по ортам  $\mathbf{s}, \mathbf{N}, \mathbf{b}$  и  $\mathbf{s}_1, \mathbf{N}_1, \mathbf{b}$  имеет вид

$$\begin{aligned}A_\perp &= \sqrt{k_n} E_\perp, \quad A_\parallel = \sqrt{k_n} E_\parallel, \\ A_{2\perp} &= \sqrt{k_{2n}} E_{2\perp}, \quad A_{2\parallel} = \sqrt{k_{2n}} E_{2\parallel}.\end{aligned}\quad (43)$$

Принимая во внимание (38), (39), (42), из (6) находим

$$\begin{aligned}\mathbf{s} \nabla A_\perp &= -f A_\perp + f_{n\perp} A_{2\perp} \exp(2iS_{2n}), \\ \mathbf{s}_1 \nabla A_{2\perp} &= -f A_{2\perp} + f_{n\perp} A_\perp \exp(2iS_n),\end{aligned}\quad (44)$$

$$\begin{aligned}\mathbf{s} \nabla A_\parallel &= -f A_\parallel + f_{n\parallel} A_{2\parallel} \exp(2iS_{2n}), \\ \mathbf{s}_1 \nabla A_{2\parallel} &= -f A_{2\parallel} + f_{n\parallel} A_\parallel \exp(2iS_n),\end{aligned}\quad (45)$$

$$f = \frac{1}{2} \frac{k_n}{k} \operatorname{div} \frac{\mathbf{s} k}{k_n}. \quad (46)$$

Соотношения (44)–(46) представляют собой искомое обобщение основного уравнения (6) геометрической оптики.

Уравнения (44), (45) включают в себя, как частный случай, теорию волн в слоистых средах. Действительно, здесь  $\mathbf{s} = \mathbf{e}_z k_n/k + \mathbf{e}_x k_x$ , компонента  $k_x$  постоянна,  $k/k_n$  зависит только от  $z$ , поэтому  $\operatorname{div}(\mathbf{s} k/k_n) = 0$ , и системы уравнений (44), (45) и (15), (18) формально совпадают.

Коэффициенты  $f_{n\parallel}$  и  $f_{n\perp}$  связаны простым соотношением (ср. с (19), (20))

$$f_{n\parallel} = \frac{\mathbf{s} \nabla (k_n/\varepsilon)}{2k_n/\varepsilon} = f_{n\perp} - \frac{\mathbf{s} \nabla \varepsilon}{2\varepsilon}, \quad f_{n\perp} = \frac{\mathbf{s} \nabla k_n}{2k_n}, \quad (47)$$

из которого следует

$$f = \frac{1}{2} \operatorname{div} \mathbf{s} - \frac{1}{2} (f_{n\perp} + f_{n\parallel}). \quad (48)$$

В отличие от (19) и (20),  $f_{n\parallel}$  и  $f_{n\perp}$ , не выражаются через произведения производных от диэлектрической проницаемости и геометрических коэффициентов:

$$\begin{aligned}f_{n\perp} &= \frac{\mathbf{s} \nabla k_n}{2k_n} = \frac{\mathbf{s} \nabla (k^2 - k_x^2)}{4k_n^2} = \\ &= \frac{k_x^2 + k_n^2}{k_n^2} \frac{\mathbf{s} \nabla \varepsilon}{4\varepsilon} - \frac{\mathbf{s} \nabla k_x^2}{4k_n^2},\end{aligned}\quad (49)$$

$$f_{n\parallel} = \frac{k_x^2 - k_n^2}{k_n^2} \frac{\mathbf{s} \nabla \varepsilon}{4\varepsilon} - \frac{\mathbf{s} \nabla k_x^2}{4k_n^2}. \quad (50)$$

Для плоской волны в слоистой среде величина  $k_x$  постоянна, и в (49) и (50) были бы отличны от нуля только первые члены в правых частях, содержащие  $\nabla \varepsilon$ . В случае же трехмерной неоднородности  $k_x$  зависит от  $\mathbf{r}$  и соотношения для коэффициентов  $f_{n\parallel}$ ,

$f_{n\perp}$  более сложные. В частности, явление Брюстера в трехмерно неоднородной среде имеет место не при  $k_x^2 = k_n^2$ , а при условии

$$(k_x^2 - k_n^2)\mathbf{s}\nabla\varepsilon - \varepsilon\mathbf{s}\nabla k_x^2 = 0. \quad (51)$$

Слагаемое  $\varepsilon\mathbf{s}\nabla k_x^2$  в соотношении (51) находит обычную интерпретацию с позиций молекулярной оптики. Как известно, отраженная волна в рамках молекулярных представлений рассматривается как результат интерференции волн, которые испущены диполями среды 2, индуцированными прошедшей волной. При угле Брюстера напряженность в прошедшей волне направлена вдоль волнового вектора отраженной волны, и амплитуда дипольных волн равна нулю, что и объясняет эффект Брюстера. Таково положение дел в случае плоских волн и слоистой среды. В среде с произвольной неоднородностью, в слое вблизи неплоской поверхности  $\varepsilon(\mathbf{r}) = \text{const}$  луч испытывает дополнительное преломление, которое и характеризуется изменением тангенциальной составляющей вдоль луча  $\mathbf{s}\nabla k_x^2$  в формуле (51). В силу поперечности изменяется и направление напряженности в преломленной волне, и условие локального брюстеровского погашения отраженной.

## 5. ОБСУЖДЕНИЕ

Полученные в разд. 4 уравнения (44), (45) вносят в теорию объемное френелево отражение от неоднородности среды и в этом смысле они обобщают или расширяют фундаментальные соотношения (5) и (6) оптики неоднородных сред. Наряду с дифракционными явлениями, речь идет о включении еще одного элемента волновой оптики. В рамках лучевого подхода описания ОФО в слоистых и произвольно неоднородных средах оказались очень близкими. Отличие систем уравнений (44), (45) и (15), (18) в формальном отношении состоит всего лишь в существовании некоторой эффективной расходимости, которая содержит в себе обычную геометрическую расходимость  $(1/2)\text{div}\mathbf{s}$  и величины, обусловленные ОФО. Разумеется, по существу система (15), (18) неизмеримо проще, поскольку относится только к двум плоским волнам, тогда как система (44), (45) — к непрерывному распределению лучей и включает в себя все богатство геометрической оптики. Сколько-нибудь близкий уровень простоты при использовании волновых фронтов невозможен.

В соответствии с формулами Френеля, эффекты ОФО разделены в системе (44), (45) на собственно отражение от неоднородности и на ее прохождение.

В явлении отражения проявляется интерференция падающей и отраженной волн. Влияние интерференции зависит от структуры неоднородности (от отношения ее поперечных и продольных размеров, от ширины пучка лучей, от ориентации лучей относительно поверхностей  $\varepsilon(\mathbf{r}) = \text{const}$ ). Например, при «нормальном и скользящем падении», т. е., если приблизительно  $\mathbf{s} \parallel \mathbf{n}$  или  $\mathbf{s} \perp \mathbf{n}$ , интерференция в обеих поляризациях более важна, чем при углах падения примерно  $45^\circ$  ( $k_x^2 \approx k_n^2$ ). Если интерференция по каким-либо причинам оказывается несущественной, эффекты геометрической оптики и ОФО оказываются одного порядка величины.

При анализе ОФО адекватными оказались «нормированные»  $A$ -амплитуды (43), которые обладают эффективным пропусканием, равным единице. В этом отношении они подобны амплитудам  $A_{1,2}, B_{1,2}, C_{1,2}$  (12), (15), (17). Вместе с тем, эта «нормировка» может оказаться неудобной при анализе других задач, в частности, в кирхгофовой теории дифракционных явлений.

Подчеркнем на первый взгляд неожиданный результат — эффективная расходимость  $f$  в уравнениях (44), (45) одинакова для  $\perp$ - и  $\parallel$ -поляризации, хотя в формулах Френеля коэффициенты пропускания  $d_\perp$  и  $d_\parallel$  при конечном изменении диэлектрической проницаемости  $\varepsilon_1 - \varepsilon_2$  различны. Дело в том, что неравенство  $d_\perp$  и  $d_\parallel$  (см. формулы (28) и (30)) связано с множителем  $\sqrt{\varepsilon_1/\varepsilon_2}$  и отношением  $\varepsilon_1/\varepsilon_2$  в знаменателе выражения (30). При малом различии  $\varepsilon_1$  и  $\varepsilon_2$  эти величины в первом приближении компенсируются. Показательным является выражение (48) для эффективной расходимости, содержащее симметричную комбинацию  $(f_{n\perp} + f_{n\parallel})/2$ . Таким образом, зависимость от поляризации возникает только вследствие собственно самого отражения и интерференции волн (слагаемые в формулах (44), (45), содержащие  $\exp(2iS_{2n})$  и  $\exp(2iS_n)$ ). Поэтому в моделях, где не принимается во внимание собственно отражение и интерференция, эффекты ОФО изотропны.

В «неинтерференционном» приближении закон Рытова не нарушается — проекции  $A_\perp, A_\parallel$  изменяются в равной мере, а вращение происходит вокруг бинормали, в согласии с формулами (7) и (8). Относительно трехгранника Френе вращение происходит с угловой скоростью  $-\mathbf{s}/T$ . Выводы о роли интерференции в поправках к закону Рытова качественно согласуются с результатами для наклонного распространения волн в одномерно неоднородных средах.

Изложенное построение относится к категории так называемых эвристических теорий, которые

основаны не на упрощении строгой теории, а на общих правдоподобных соображениях, в частности, на принципе локальности. Нестрогоим, эвристическим моментом является вывод дифференциального коэффициента пропускания. Надежным аргументом в пользу предлагаемой теории служит физически прозрачная структура уравнений (44), (45) и тот факт, что они автоматически сводятся к строгим выражениям в случае слоистых сред.

В развитой теории существенную роль играл принцип локальности, согласно которому использовались представления об отражении и преломлении лучей, законы Снеллиуса, формулы Френеля и т. д. и их применение к тонким слоям среды. Анализ ОФО сопровождается предельным переходом к иному классу локальных соотношений, к дифференциальным соотношениям, которые выходят за рамки принципа локальности в обычном его понимании. Иллюстрацией сказанного могут быть изотропия эффективной необходимости и необычные локальные условия (51) проявления эффекта Брюстера при ОФО в трехмерно неоднородной среде.

В соответствии с известными оптико-механическими и другими аналогиями, полученные результаты могут иметь отношение к волнам иной природы в неоднородных средах, к квантовым процессам, радиофизике, физике плазмы, акустике и т. д.

Благодарю Д. А. Шапиро за обсуждение статьи и ценные соображения.

Работа выполнена при поддержке гранта президента РФ НШ-7214.2006.2, РFFИ (грант № 05-02-17107), Интеграционного проекта СО РАН № 33 и программы президиума РАН № 8-3.

## ЛИТЕРАТУРА

1. В. Л. Гинзбург, *Распространение электромагнитных волн в плазме*, Наука, Москва (1967).
2. Д. В. Сивухин, *Лекции по физической оптике*, ч. II, изд. Новосиб. унив., Новосибирск (1969).
3. С. М. Рытов, ДАН СССР **18**, 263 (1938).
4. С. М. Рытов, Труды ФИАН **2**, 41 (1940).
5. Ю. А. Кравцов, Ю. И. Орлов, *Геометрическая оптика неоднородных сред*, Наука, Москва (1980).
6. Г. Корн, Т. Корн, *Справочник по математике*, Наука, Москва (1970).
7. V. S. Liberman and B. Ya. Zel'dovich, Phys. Rev. E **49**, 2389 (1994).
8. A. Yu. Savchenko and B. Ya. Zel'dovich, Phys. Rev. E **50**, 2287 (1994).
9. Л. М. Бреховских, *Волны в слоистых средах*, Изд. АН СССР, Москва (1957).
10. H. Kogelnik, Bell. Syst. Tech. J. **48**, 2909 (1969).
11. S. John, Phys. Rev. Lett. **58**, 2486 (1987).
12. А. Ярив, П. Юх, *Оптические волны в кристаллах*, Мир, Москва (1987).
13. С. Г. Раутян, Опт. и спектр. **104**, 122 (2008).